

一种新型厚薄板通用三角形广义协调元*

岑 松

(清华大学土木系, 北京 100084)

龙志飞

(中国矿大北研部, 北京 100083)

提 要 本文提出了一种假设单元剪切应变场的新方法, 基于广义协调理论构造了一个只有 9 个自由度的三角形厚薄板通用单元 TCGG-T9。数值算例表明: 该单元具有自由度少, 精度高, 无剪切闭锁现象等特点, 适用于从极薄板到厚板较大的范围。

关键词 剪切应变场, 有限元, 厚薄板通用, 三角形广义协调元

一、引 言

采用 Mindlin^[1] 中厚板理论构造板弯曲单元已得到广泛的研究, 其主要问题是如何避免剪切闭锁现象。降阶积分^{[2][3]} 等一些方法虽然在一定程度上缓解了上述问题, 但在使用上还是让人感到不便。将板的横向剪应变连同结点位移一起作为单元结点自由度, 或是增加单元边界结点或内部结点数, 将位移和剪应变及其高阶导数作为结点自由度, 也都是构造此类位移板单元的有效方法^{[4][5]}。但这些方法推导的单元, 一方面不适用于单元之间剪应变有突变的情况; 另一方面也使列式过于繁复。

利用广义协调的概念^{[6][7]} 建立不闭锁的厚薄板通用弯曲单元已有多种方法^{[8][9][10][11][14]}, 但大多限于构造矩形单元, 不能适用于复杂边界形状。而对于构造三角形单元却不能成功^[12]。

本文提出了一种假设剪切应变场的新方案, 并利用广义协调条件构造了一个 9 自由度的三角形单元。该法简便易行, 列式简单, 不增加单元的自由度。数值算例表明: 所构造的单元精度较高, 无剪切闭锁现象发生, 适用于从薄板到厚板较大的范围。

* 国家自然科学基金, 高校博士点基金及煤炭系统留学回国人员科技基金资助项目

二、假设单元剪切应变场

厚薄板通用三角形单元 (图 1) 自由度定义如下:

$$\{q\}^e = [w_1 \quad \Psi_{x1} \quad \Psi_{y1} \quad w_2 \quad \Psi_{x2} \quad \Psi_{y2} \quad w_3 \quad \Psi_{x3} \quad \Psi_{y3}]^T \quad (1)$$

其中 $w_i, \Psi_{xi}, \Psi_{yi}$ 分别为角点 i ($i = 1, 2, 3$) 的挠度和转角。

1. 单元各边的剪应变

根据厚梁理论^[4], 可以确定单元各边的横向剪应变如下:

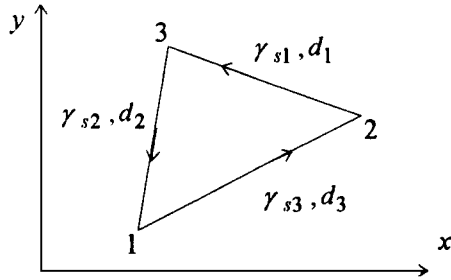


图 1

$$\gamma_{s1} = -\frac{\delta_1}{d_1} [2w_2 - w_3] + (c_1 \Psi_{x2} - b_1 \Psi_{y2} + (c_1 \Psi_{x3} - b_1 \Psi_{y3}))$$

$$\gamma_{s2} = -\frac{\delta_2}{d_2} [2w_3 - w_1] + (c_2 \Psi_{x3} - b_2 \Psi_{y3} + (c_2 \Psi_{x1} - b_2 \Psi_{y1})) \quad (2)$$

$$\text{了问 } \gamma_{s3} = -\frac{\delta_3}{d_3} [2(w_1 - w_2) + (c_3 \Psi_{x1} - b_3 \Psi_{y1}) + (c_3 \Psi_{x2} - b_3 \Psi_{y2})]$$

其中 $\gamma_{s1}, \gamma_{s2}, \gamma_{s3}$ 分别为 23, 31, 12 边的横向剪应变; d_1, d_2, d_3 分别为 23, 31, 12 边的边长

$$\begin{aligned} b_1 &= y_2 - y_3 & b_2 &= y_3 - y_1 & b_3 &= y_1 - y_2 \\ c_1 &= x_3 - x_2 & c_2 &= x_1 - x_3 & c_3 &= x_2 - x_1 \end{aligned} \quad (3)$$

$$\delta_i = \frac{(h/d_i)^2}{6} (1 - \mu) + 2 \left(\frac{h}{d_i}\right)^2 \quad (i = 1, 2, 3) \quad (4)$$

其中 h 为板厚; μ 为泊松比。可见, 当 $h \rightarrow 0$ 时, $\delta_i \rightarrow 0$, 进而 $\gamma_{si} \rightarrow 0$ 。

$$\text{令} \quad \gamma_{si}^* = d_i \gamma_{si} \quad (i = 1, 2, 3) \quad (5)$$

$$\{\gamma_s^*\} = [\gamma_{s1}^* \quad \gamma_{s2}^* \quad \gamma_{s3}^*]^T \quad (6)$$

$$\text{则有:} \quad \{\gamma_s^*\} = [\Gamma^*] \{q\}^e \quad (7)$$

其中:

$$[\Gamma^*] = \begin{bmatrix} 0 & 0 & 0 & -2\delta_1 & -c_2\delta_1 & b_1\delta_1 & 2\delta_1 & -c_1\delta_1 & b_1\delta_1 \\ 2\delta_2 & -c_2\delta_2 & b_2\delta_2 & 0 & 0 & 0 & -2\delta_2 & -c_2\delta_2 & b_2\delta_2 \\ -2\delta_3 & -c_3\delta_3 & b_3\delta_3 & 2\delta_3 & -c_3\delta_3 & b_3\delta_3 & 0 & 0 & 0 \end{bmatrix} \quad (8)$$

2 角点剪应变的 γ_{xi} , γ_{yi} 确定

a) 边线的方向余弦

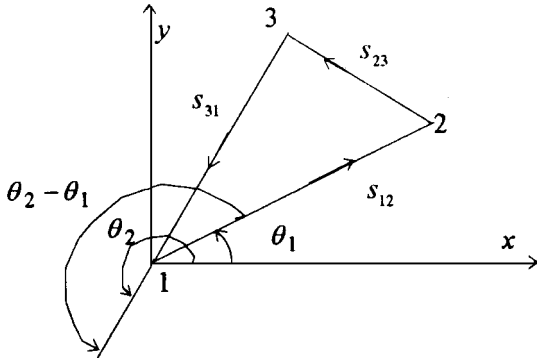


图 2

如图 2, 各边的方向余弦为:

$$\begin{aligned} \cos(s_{12}, x) &= \frac{c_3}{d_3} & \cos(s_{23}, x) &= \frac{c_1}{d_1} & \cos(s_{31}, x) &= \frac{c_2}{d_2} \\ \cos(s_{12}, y) &= \frac{b_3}{d_3} & \cos(s_{23}, y) &= \frac{b_1}{d_1} & \cos(s_{31}, y) &= \frac{b_2}{d_2} \end{aligned} \quad (9)$$

b) 结点的 γ_{xi} , γ_{yi}

对于结点 1, 如图 2, 令

$$R_1 = \frac{1}{\sin(\theta_2 - \theta_1)} = -\frac{d_2 d_3}{2A} \quad (10)$$

其中 A 为单元的面积, 则有:

$$\begin{aligned} \gamma_{x1} &= R_1 \cos(s_{31}, y) - \cos(s_{12}, y) & \gamma_{s3} &= \frac{1}{2A} \begin{vmatrix} b_2 & -b_3 \\ c_2 & -c_3 \end{vmatrix} \gamma_{s3}^* \\ \gamma_{y1} &= R_1 - \cos(s_{31}, x) & \gamma_{s2} &= \frac{1}{2A} \begin{vmatrix} b_2 & -b_3 \\ c_2 & -c_3 \end{vmatrix} \gamma_{s2}^* \end{aligned} \quad (11a)$$

对于结点 2 和 3, 同理可得:

$$\begin{aligned} \gamma_{x2} &= \frac{1}{2A} \begin{vmatrix} b_2 & -b_1 \\ c_3 & -c_1 \end{vmatrix} \gamma_{s1}^* \\ \gamma_{y2} &= \frac{1}{2A} \begin{vmatrix} b_2 & -b_1 \\ c_3 & -c_1 \end{vmatrix} \gamma_{s3}^* \end{aligned} \quad (11b)$$

$$\begin{aligned} \gamma_{x3} &= \frac{1}{2A} \begin{vmatrix} b_1 & -b_2 \\ c_1 & -c_2 \end{vmatrix} \gamma_{s2}^* \\ \gamma_{y3} &= \frac{1}{2A} \begin{vmatrix} b_1 & -b_2 \\ c_1 & -c_2 \end{vmatrix} \gamma_{s3}^* \end{aligned} \quad (11c)$$

c) $\{\gamma_x\}$ 和 $\{\gamma_y\}$ 用 $\{\gamma_s^*\}$ 表示

由式 (11) 得:

$$\begin{matrix} \gamma_{x1} & 0 & -b_3 & b_2 & \gamma_{s1}^* \\ \gamma_{x2} = \frac{1}{2A} & b_3 & 0 & -b_1 & \gamma_{s2}^* \\ \gamma_{x3} & -b_2 & -b_1 & 0 & \gamma_{s3}^* \end{matrix} \quad (12a)$$

$$2 \quad \begin{matrix} \gamma_{y1} & 0 & -c_3 & c_2 & \gamma_{s1}^* \\ \gamma_{y2} = \frac{1}{2A} & c_3 & 0 & -c_1 & \gamma_{s2}^* \\ \gamma_{y3} & -c_2 & c_1 & 0 & \gamma_{s3}^* \end{matrix} \quad (12b)$$

3. 单元剪切应变场

设单元剪切应变场为线性场, 则有:

$$\begin{aligned} \gamma_x &= \gamma_{x1}L_1 + \gamma_{x2}L_2 + \gamma_{x3}L_3 \\ \gamma_y &= \gamma_{y1}L_1 + \gamma_{y2}L_2 + \gamma_{y3}L_3 \end{aligned} \quad (13)$$

将式 (12) 和式 (7) 代入上式得:

$$\{\gamma\} = [H^*][\Gamma^*]\{q\}^e = [B_s][q]^e \quad (14)$$

其中 $\{\gamma\} = [\gamma_x \quad \gamma_y]^T$ (15)

$$[H^*] = \frac{1}{2A} \begin{bmatrix} b_3L_2 - b_2L_3 & b_1L_3 - b_3L_1 & b_2L_1 - b_1L_2 \\ c_3L_2 - c_2L_3 & c_1L_3 - c_3L_1 & c_2L_1 - c_1L_2 \end{bmatrix} \quad (16)$$

$[B_s]$ 为剪切应变矩阵

$$[B_s] = [H^*][\Gamma^*] \quad (17)$$

可以证明, $\{\gamma\}$ 为只含有三个参数的不完全一次式, 具有如下形式:

$$\begin{aligned} \gamma_x &= \gamma_1 + \gamma_3 y \\ \gamma_y &= \gamma_1 - \gamma_3 x \end{aligned} \quad (18)$$

结点

三、假设单元位移场

1. 单元域内位移

单元的挠度场设为:

$$w = [F_\lambda]\{\lambda\} \quad (19)$$

其中 $\{\lambda\} = [\lambda_1 \quad \lambda_2 \quad \lambda_3 \quad \lambda_4 \quad \lambda_5 \quad \lambda_6 \quad \lambda_7 \quad \lambda_8 \quad \lambda_9]^T$ (20)

$$[F_\lambda] = [L_1 \quad L_2 \quad L_3 \quad L_1L_2 \quad L_2L_3 \quad L_3L_1$$

$$L_1(L_1 - \frac{1}{2})(L_1 - 1) \quad L_2(L_2 - \frac{1}{2})(L_2 - 1) \quad L_3(L_3 - \frac{1}{2})(L_3 - 1)] \quad (21)$$

单元的转角场为:

$$\begin{aligned} \psi_x &= \frac{\partial w}{\partial x} - \gamma_s \\ \psi_y &= \frac{\partial w}{\partial y} - \gamma_v \end{aligned} \quad (22)$$

2 单元的边界位移

在单元边界上, 挠度 \bar{w} 依据厚梁理论进行插值, 而法向转角 $\bar{\Psi}_n$ 设为线性分布。例如在边界12上有:

$$\begin{aligned} \tilde{w}_{12} = & [L_1 + \mu_{e3} L_1 L_2 (L_1 - L_2)] w_1 + \frac{1}{2} L_1 L_2 [1 + \mu_{e3} (L_1 - L_2)] (c_3 \Psi_{x1} - b_3 \Psi_{y1}) \\ & + [L_2 - \mu_{e3} L_1 L_2 (L_1 - L_2)] w_2 + \frac{1}{2} L_1 L_2 [-1 + \mu_{e3} (L_1 - L_2)] (c_3 \Psi_{x2} - b_3 \Psi_{y2}) \end{aligned} \quad (23)$$

其中 $\tilde{\Psi}_n = -\frac{L_1}{d_3} (b_3 \Psi_{x1} + b_3 \Psi_{y1}) - \frac{L_2}{d_3} (b_3 \Psi_{x2} + b_3 \Psi_{y2})$

$$\mu_{e_i} = 1 - 2\delta_i \quad (i = 1, 2, 3) \quad (24)$$

四、引入广义协调条件

采用同薄板单元相同的边一点协调方案^[7]:

$$\begin{aligned} w_i - \bar{w}_i &= 0 \\ \int_{d_i} (w - \bar{w}) ds & \quad (i = 1, 2, 3) \\ \int_{d_i} (\Psi - \bar{\Psi}_n) ds &= 0 \end{aligned} \quad (25)$$

将式 (19), (22), (23) 代入上式得:

$$\{ \lambda \} = [A] \{ q \}^e \quad (26)$$

其中

$$[A] = \begin{bmatrix} 1 & 0 & 0 & 0 & 0 & 0 & 0 & 0 & 0 \\ 0 & 0 & 0 & 1 & 0 & 0 & 0 & 0 & 0 \\ 0 & 0 & 0 & 0 & 0 & 0 & 1 & 0 & 0 \\ 0 & \frac{1}{2} c_3 & -\frac{1}{2} b_3 & 0 & -\frac{1}{2} c_3 & \frac{1}{2} b_3 & 0 & 0 & 0 \\ 0 & 0 & 0 & 0 & \frac{1}{2} c_1 & -\frac{1}{2} b_1 & 0 & -\frac{1}{2} c_1 & \frac{1}{2} b_1 \\ 0 & -\frac{1}{2} c_2 & \frac{1}{2} b_2 & 0 & 0 & 0 & 0 & \frac{1}{2} c_2 & -\frac{1}{2} b_2 \end{bmatrix} \quad (27)$$

$$[A_1] \qquad [A_2] \qquad [A_3]$$

$$[A_1] = \begin{bmatrix} -(\mu_{e2} + \mu_{e3}) & \frac{1}{2} (c_2 \mu_{e2} - c_3 \mu_{e3}) & \frac{1}{2} (b_3 \mu_{e3} - b_2 \mu_{e2}) \\ \mu_{e3} - r_2 \mu_{e2} & \frac{1}{2} (r_2 c_2 \mu_{e2} + c_3 \mu_{e3}) & -\frac{1}{2} (r_2 b_2 \mu_{e2} + b_3 \mu_{e3}) \\ \mu_{e2} + r_3 \mu_{e3} & \frac{1}{2} (r_3 c_3 \mu_{e3} - c_3 \mu_{e3}) & -\frac{1}{2} (r_3 b_3 \mu_{e3} - b_2 \mu_{e2}) \end{bmatrix} \quad (28)$$

$$[A_2] = \begin{matrix} \mu_{e3} + r_1 \mu_{e1} & \frac{1}{2}(r_1 c_1 \mu_{e1} - c_3 \mu_{e3}) & -\frac{1}{2}(r_1 b_1 \mu_{e1} - b_3 \mu_{e3}) \\ -(\alpha \mu_{e3} + \mu_{e1}) & \frac{1}{2}(C_3 \mu_{e3} - c_1 \mu_{e1}) & \frac{1}{2}(b_1 \mu_{e1} - b_3 \mu_{e3}) \end{matrix} \quad (29)$$

$$[A_3] = \begin{matrix} \mu_{e1} - r_3 \mu_{e3} & \frac{1}{2}(r_3 c_3 \mu_{e3} + c_1 \mu_{e1}) & -\frac{1}{2}(r_3 b_3 \mu_{e3} + b_1 \mu_{e1}) \\ \mu_{e2} - r_1 \mu_{e1} & \frac{1}{2}(r_1 c_1 \mu_{e1} + c_2 \mu_{e2}) & -\frac{1}{2}(r_1 b_1 \mu_{e1} + b_2 \mu_{e2}) \\ \mu_{e1} + r_2 \mu_{e2} & \frac{1}{2}(r_2 C_2 \mu_{e2} - c_1 \mu_{e1}) & -\frac{1}{2}(r_2 b_2 \mu_{e2} - b_1 \mu_{e1}) \end{matrix} \quad (30)$$

$$r_1 = \frac{d_2^2 - d_3^2}{d_1^1}, \quad r_2 = \frac{d_3^2 - d_1^2}{d_2^2}, \quad r_3 = \frac{d_1^2 - d_2^2}{d_3^2} \quad (31)$$

将式 (26) 代入式 (19) 得:

$$w = [N_w] \{q\}^e \quad (32)$$

其中

$$[N_w] = [N_{w1} \quad N_{wx1} \quad N_{wy1} \quad N_{w2} \quad N_{wx2} \quad N_{wy2} \quad N_{w3} \quad N_{wx3} \quad N_{wy3}] \quad (33)$$

$$N_{wi} = L_i - (\mu_j + \mu_m) L_i (L_i - \frac{1}{2})(L_i - 1) + (\mu_m - r_j \mu_j) L_j (L_j - \frac{1}{2})(L_j - 1)$$

$$+ (\mu_j + r_m \mu_m) L_m (L_m - \frac{1}{2})(L_m - 1)$$

$$N_{wxi} = \frac{1}{2} [L_i (c_m L_j - c_j L_m) + (c_j \mu_j - c_m \mu_m) L_i (L_i - \frac{1}{2})(L_i - 1) + (r_j c_j \mu_j + c_m \mu_m)]$$

$$L_j (L_j - \frac{1}{2})(L_j - 1) + (r_m c_m \mu_m - c_j \mu_j) L_m (L_m - \frac{1}{2})(L_m - 1)]$$

$$N_{wyi} = \frac{1}{2} [L_i (-b_m L_j + b_j L_m) - (b_j \mu_j - b_m \mu_m) L_j (L_j - \frac{1}{2})(L_i - 1) - (r_j c_j \mu_j + c_m \mu_m)]$$

$$L_j (L_j - \frac{1}{2})(L_j - 1) - (r_m b_m \mu_m - b_j \mu_j) L_m (L_m - \frac{1}{2})(L_m - 1)] \quad (i, j, m = \overline{1, 2, 3})$$

—五#、单元刚度矩阵

1. 单元弯曲应变矩阵

单元的曲率和扭率为:

$$\{K\} = [K_x \quad K_y \quad K_{xy}]^T = [-\frac{\partial \Psi_x}{\partial x} \quad -\frac{\partial \Psi_y}{\partial y} \quad -(\frac{\partial \Psi_x}{\partial y} + \frac{\partial \Psi_y}{\partial x})]^T \quad (34)$$

将式 (22) 代入上式得:

$$\{K\} = [B_b] \{q\}^e \quad (35)$$

其中 $[B_b]$ 为单元的弯曲应变矩阵

$$[B_b] = [[B_{b1}] \quad [B_{b2}] \quad [B_{b3}]] \quad (36)$$

$$[B_{bi}] = \begin{bmatrix} B_{bi11} & B_{bi12} & B_{bi13} \\ B_{bi21} & B_{bi22} & B_{bi23} \\ B_{bi31} & B_{bi32} & B_{bi33} \end{bmatrix} \quad (i = 1, 2, 3) \quad \mathbf{e} \quad (37)$$

$$B_{bi11} = -\frac{3}{4A} 2[-b_i^2(\mu_{ij} + \mu_{em})(2L_i - 1) + b_j^2(\mu_{em} - r_j \mu_{ij})(2L_j - 1) + b_m^2(\mu_{ij} - r_m \mu_{em})(2L_m - 1)]$$

$$B_{bi21} = -\frac{3}{4A} 2[-c_i^2(\mu_{ij} + \mu_{em})(2L_i - 1) + c_j^2(\mu_{em} - r_j \mu_{ij})(2L_j - 1) + c_m^2(\mu_{ij} - r_m \mu_{em})(2L_m - 1)]$$

$$B_{bi31} = -\frac{3}{4A} 2[-b_i c_i(\mu_{ij} + \mu_{em})(2L_i - 1) + b_j c_j(\mu_{em} - r_j \mu_{ij})(2L_j - 1) + b_m c_m(\mu_{ij} - r_m \mu_{em})(2L_m - 1)]$$

$$B_{bi12} = -\frac{3}{8A} 2[b_i^2(c_j \mu_{ej} + c_m \mu_{em})(2L_i - 1) + b_j^2(r_j c_j \mu_{ij} + c_m \mu_{em})(2L_j - 1) + b_m^2(r_m c_m \mu_{em} - c_j \mu_{ej})(2L_m - 1) + \frac{2}{3} b_i(b_j c_k - b_k c_j)]$$

$$B_{bi22} = -\frac{3}{8A} 2[c_i^2(c_j \mu_{ij} + c_m \mu_{em})(2L_i - 1) + c_j^2(r_j c_j \mu_{ej} - c_m \mu_{em})(2L_j - 1) + c_m^2(r_m c_m \mu_{em} - c_j \mu_{ij})(2L_m - 1)]$$

$$B_{bi23} = -\frac{3}{4A} 2[b_i c_i(c_j \mu_{ej} + c_m \mu_{em})(2L_i - 1) + b_j c_j(r_j c_j \mu_{ij} + c_m \mu_{em})(2L_j - 1) + b_m c_m(r_m c_m \mu_{em} - c_j \mu_{ij})(2L_m - 1) + \frac{1}{3} b_i(c_j c_k - b_k c_j)]$$

$$B_{bi13} = -\frac{3}{8A} 2[b_i^2(b_m \mu_{em} - b_j \mu_{ij})(2L_i - 1) - b_j^2(r_j b_j \mu_{ej} - b_m \mu_{em})(2L_j - 1) - b_m^2(r_m b_m \mu_{em} - b_j \mu_{ij})(2L_m - 1)]$$

$$B_{bi23} = -\frac{3}{8A} 2[c_i^2(b_m \mu_{em} - b_j \mu_{ij})(2L_i - 1) - c_j^2(r_j b_j \mu_{ej} + b_m \mu_{em})(2L_j - 1) - c_m^2(r_m b_m \mu_{em} - b_j \mu_{ej})(2L_m - 1) + \frac{2}{3} c_i(b_j c_m - b_m c_j)]$$

$$B_{bi33} = -\frac{3}{4A} 2[b_i c_i(b_m \mu_{em} - b_j \mu_{ij})(2L_i - 1) - b_j c_j(r_j b_j \mu_{ej} + b_m \mu_{em})(2L_j - 1) - b_m c_m(r_m b_m \mu_{em} - b_j \mu_{ij})(2L_m - 1) + \frac{1}{3} c_i(b_j c_m - b_m c_j)] \quad (i, j, m = \overline{1, 2, 3})$$

2 单元剪切应变矩阵

由式 (17) 得单元的剪切应变矩阵:

$$[B_s] = [[B_{s1}] \quad [B_{s2}] \quad [B_{s3}]] \quad (38)$$

其中

$$[B_{si}] = \frac{1}{2A} \begin{matrix} 2\delta_j(b_iL_m - b_mL_i) - 2\delta_m(b_jL_i - b_iL_j) & -c_j\delta_j(b_iL_m - b_mL_i) - c_m\delta_m(b_jL_i - b_iL_j) \\ 2\delta_j(c_iL_m - c_mL_i) - 2\delta_m(c_jL_i - b_iL_j) & -c_j\delta_j(c_iL_m - c_mL_i) - c_m\delta_m(c_jL_i - c_iL_j) \\ b_j\delta_j(b_iL_m - b_mL_i) + b_m\delta_m(b_jL_i - b_iL_j) & \\ b_j\delta_j(c_iL_m - c_mL_i) + b_m\delta_m(c_jL_i - c_iL_j) & \end{matrix} \quad (i, j, m = \overleftarrow{1, 2, 3}) \quad (39)$$

3. 单元刚度矩阵

单元的刚度矩阵为:

$$= 3 \quad [K]^e = \begin{matrix} [K_{11}] & [K_{12}] & [K_{13}] \\ [K_{21}] & [K_{22}] & [K_{23}] \\ [K_{31}] & [K_{32}] & [K_{33}] \end{matrix} \quad (40)$$

其中

$$[K_{ij}] = \iint_{Ae} [B_{bi}]^T [D] [B_{bj}] dA + \iint_{Ae} [B_{si}]^T [C] [B_{sj}] dA \quad (i, j = 1, 2, 3) \quad (41)$$

$$[D] = D \begin{matrix} 1 & \mu & 0 \\ \mu & 1 & 0 \\ 0 & 0 & 1-\mu \\ & & 2 \end{matrix} \quad [C] = C \begin{matrix} 1 & 0 \\ 0 & 1 \end{matrix} \quad (42)$$

$$D = \frac{Eh^3}{12(1-\mu^2)} \quad C = \frac{5}{6} Gh = \frac{5D(1-\mu)}{h^2} \quad (43)$$

E 为板的弹性模量; G 为板的剪切模量。

此单元记为 TCGC- T9 单元。

由于采用同文 [13] 中薄板单元 GPL- T9 相同的挠度场和广义协调条件, 当板厚 $h \rightarrow 0$ 时, 本文推导的单元就退化为薄板单元 GPL- T9。

六、数值算例

例 1 不同厚跨比 (h/l) 的四边简支和固支方板受均布荷载下的中心挠度和弯矩。设板边长为 l , $\mu=0.3$, 采用图 3 所示网格, 计算结果见表 1 至表 3。



图 3 四分之一方板网格 (O 为方板中心)

例 2 不同厚跨比(h/r)的周边简支和周边固支圆板受均载作用下的中心挠度和弯矩。设圆板半径为 r , $L=0.13$, 采用图 4 所示网格, 计算结果见表 4 至表 6。

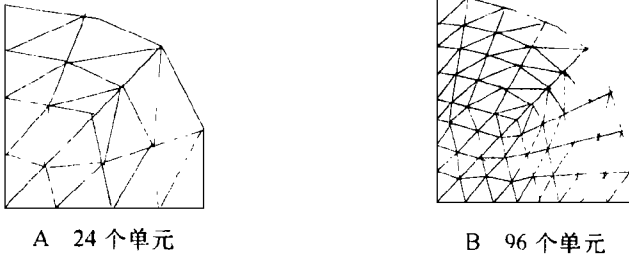


图4 四分之一圆权网络

由表 1 至表 6 可见, 本文单元具有较高的精度和较好的收敛性。当板厚趋向于薄板极限时, 单元可以得到薄板解, 不存在剪切闭锁现象; 当板厚趋向于厚板时, 单元得到的结果也很接近于 Mindlin 中厚板解, 满足工程所需的精度要求。

表 1 均布荷载 q 作用下四边简支方板中心挠度 ($@ \frac{ql^4}{100D}$)

厚跨比 h/l	网格数	2@2	4@4	8@8	16@16	解析解
	网格类型					
10^{-11}	A	0.3903	0.4026	0.4054	0.4061	0.4062
	B	0.3845	0.4019	0.4053	0.4060	
0.001	A	0.3903	0.4026	0.4054	0.4061	0.4062
	B	0.3845	0.4019	0.4053	0.4060	
0.01	A	0.3904	0.4027	0.4056	0.4062	0.4062
	B	0.3846	0.4020	0.4054	0.4061	
0.1	A	0.4047	0.4190	0.4243	0.4264	0.4273
	B	0.4008	0.4187	0.4244	0.4265	
0.15	A	0.4231	0.4422	0.4499	0.4526	0.4536
	B	0.4237	0.4463	0.4506	0.4528	
0.20	A	0.4501	0.4761	0.4861	0.4893	0.4906
	B	0.4580	0.4801	0.4876	0.4897	
0.25	A	0.4864	0.5205	0.5328	0.5364	0.5379
	B	0.5040	0.5278	0.5352	0.5372	
0.30	A	0.5324	0.5752	0.5898	0.5941	0.5956
	B	0.5619	0.5864	0.5935	0.5952	
0.35	A	0.5880	0.6401	0.6573	0.6622	0.6641
	B	0.6316	0.6560	0.6624	0.6638	

表 2 均布荷载 q 作用下四边固支方板中心挠度 ($@ \frac{ql^4}{100D}$)

厚跨比 h/l	网格数		2@2	4@4	8@8	16@16	解析解
	网格类型						
10^{-11}	A		0.0978	0.1187	0.1245	0.1260	0.1265
	B		0.1186	0.1246	0.1263	0.1265	
0.001	A		0.0978	0.1187	0.1246	0.1260	0.1265
	B		0.1186	0.1246	0.1263	0.1265	
0.01	A		0.0979	0.1188	0.1247	0.1262	0.1265
	B		0.1188	0.1248	0.1264	0.1266	
0.1	A		0.1117	0.1374	0.1461	0.1492	0.1499
	B		0.1378	0.1442	0.1477	0.1496	
0.15	A		0.1299	0.1622	0.1737	0.1774	0.1798
	B		0.1616	0.1706	0.1758	0.1779	
0.20	A		0.1569	0.1973	0.2115	0.2157	0.2167
	B		0.1959	0.2082	0.2144	0.2165	
0.25	A		0.1932	0.2426	0.2593	0.2641	0.2675
	B		0.2413	0.2566	0.2632	0.2652	
0.30	A		0.2392	0.2979	0.3171	0.3226	0.3227
	B		0.2982	0.3159	0.3224	0.3241	
0.35	A		0.2947	0.3633	0.3852	0.3914	0.3951
	B		0.3670	0.3859	0.3919	0.3933	

表 3 均布荷载 q 作用下四边简支方板中心弯矩 ($@ \frac{ql^2}{10}$)

厚跨比 h/l	网格数		2@2	4@4	8@8	16@16	解析解
	网格类型						
10^{-11}	A		0.4918	0.4845	0.4813	0.4797	
	B		0.5022	0.4800	0.4781	0.4784	
0.001	A		0.4918	0.4845	0.4813	0.4797	
	B		0.5022	0.4800	0.4781	0.4784	
0.01	A		0.4920	0.4847	0.4814	0.4798	
	B		0.5026	0.4807	0.4789	0.4791	
0.1	A		0.5115	0.4973	0.4866	0.4814	
	B		0.5304	0.4998	0.4860	0.4809	
0.15	A		0.5269	0.5031	0.4876	0.4815	0.4789
	B		0.5485	0.5054	0.4871	0.4810	

0.20	A	0.5407	0.5068	0.4881	0.4815
	B	0.5637	0.5094	0.4877	0.4811
0.25	A	0.5522	0.5090	0.4884	0.4815
	B	0.5764	0.5121	0.4880	0.4811
0.30	A	0.5612	0.5105	0.4885	0.4816
	B	0.5871	0.5140	0.4882	0.4811
0.35	A	0.5681	0.5114	0.4886	0.4816
	B	0.5959	0.5153	0.4883	0.4811

表4 均布荷载 q 作用下周边简支圆板中心挠度(@ $\frac{qr^4}{D}$)

厚跨比 h/r	网格		解析解
	A 24 个单元	B 96 个单元	
10^{11}	0.063546(-0.24%)	0.063660(-0.07%)	0.063702
0.001	0.063546(-0.24%)	0.063660(-0.07%)	0.063702
0.01	0.063550(-0.25%)	0.063664(-0.07%)	0.063709
0.1	0.064043(-0.58%)	0.064218(-0.30%)	0.064416
0.15	0.064750(-0.86%)	0.065026(-0.43%)	0.065309
0.20	0.065807(-1.13%)	0.066210(-0.52%)	0.066559
0.25	0.067227(-1.37%)	0.067769(-0.58%)	0.068166
0.30	0.069019(-1.58%)	0.069698(-0.62%)	0.070130
0.35	0.071185(-1.75%)	0.071993(-0.63%)	0.072452

表5 均布荷载 q 作用下周边固支圆板中心挠度(@ $\frac{qr^4}{D}$)

厚跨比 h/r	网格		解析解
	A 24 个单元	B 96 个单元	
10^{11}	0.014480(-7.32%)	0.015334(-1.86%)	0.015625
0.001	0.014480(-7.32%)	0.015334(-1.86%)	0.015625
0.01	0.014483(-7.35%)	0.015337(-1.89%)	0.015632
0.1	0.014911(-8.74%)	0.015857(-2.95%)	0.016339
0.15	0.015573(-9.63%)	0.016655(-3.35%)	0.017232
0.20	0.016596(-10.20%)	0.017834(-3.51%)	0.018482
0.25	0.017993(-10.43%)	0.019391(-3.47%)	0.020089
0.30	0.019770(-10.36%)	0.021318(-3.34%)	0.022054
0.35	0.021927(-10.04%)	0.023612(-3.13%)	0.024375

表 6 均布荷载 q 作用下周边简支圆板中心弯矩 ($@qr^2$)

厚跨比 h/r	网格		解析解
	A 24 个单元	B 96 个单元	
10^{11}	0.21000(1.82%)	0.20733(0.52%)	
0.001	0.21000(1.82%)	0.20733(0.52%)	
0.01	0.21001(1.82%)	0.20735(0.53%)	
0.1	0.21119(2.40%)	0.20813(0.91%)	
0.15	0.21226(2.91%)	0.20848(1.08%)	0.20625
0.20	0.21322(3.38%)	0.20869(1.18%)	
0.25	0.21400(3.76%)	0.20882(1.25%)	
0.30	0.21461(4.05%)	0.20890(1.28%)	
0.35	0.21510(4.29%)	0.20896(1.31%)	

七、结 论

本文提出了一种假设剪切应变场的新方法,采用同薄板单元相同的广义协调条件,构造了一个只有 9 个自由度的三角形厚薄板通用广义协调元 TCGG-T9。数值算例表明:该单元原理简明,列式简单,自由度少,精度与收敛性较高,是一个性能优良的单元,证明了本文所提的方法是可行的。目前文献中尚无同类单元。

本文所提出的方法具有普遍性,可以用来构造精度更高的矩形和四边形单元。

参 考 文 献

- 1 R D Mindlin. Influence of rotatory inertia and shear on flexural motions of isotropic elastic plates. JAM (Journal of Applied Mechanics), 1951; 18: 31
- 2 O C Zienkiewicz, E Hinton. Reduced integration, function smoothing and non-conformity in finite element analysis. Journal of Franklin Institute, 1976; 302(5-6): 443-461
- 3 O C Zienkiewicz, R L Taylor and J M Thomas. Reduced integration techniques in general analysis of plates and shells. Int. J. Num. Meth. Eng, 1971; 3: 275-290
- 4 胡海昌. 弹性力学的变分原理及其应用. 北京: 科学出版社, 1981
- 5 李志飙. 板弯曲单元及其在高层建筑结构分析中的应用. 浙江大学博士学位论文, 1996
- 6 龙驭球, 辛克贵. 广义协调元. 土木工程学报, 1987; 20(1): 1-14
- 7 龙驭球. 广义协调法述评. 长沙: 第二届全国结构工程学术会议论文集, 1993: 1-11

- 8 Long Yuqiu, Xi Fei. A universal method for including shear deformation in the thin plate elements. *Int. J. Num. Meth. Eng.*, 1992; 34: 171– 177
- 9 Long Yuqiu, Zhao Junqing. A generalized conforming element for thick/ thin plates and shallow shells. *The 2nd East Asia– Pacific Conference on Structural Engineering and Construction*. Chiang Mai, Thailand. Jan. 11– 13, 1989: 1062– 1067
- 10 Bu Xiaoming, Long Yuqiu. A Method for derivation of rectangular displacement– based element of thick/thin plates. *Acta Mecanica Silica*. 1993; 9(2) : 163– 170
- 11 龙志飞. 完全不闭锁的厚板矩形单元. *工程力学*, 1992; 9(1) : 88– 93
- 12 岑松. 引入广义泡状型位移场影响的厚板单元. 清华大学硕士学位论文, 1997
- 13 Long Yuqiu, Bu Xiaoming, Long Zhifei and Xu Yin. Generalized conforming plate bending elements using point and line compatibility conditions. *Computers & Structures*, 1995; 55(4) : 717– 728
- 14 龙驭球. 新型有限元引论. 北京: 清华大学出版社, 1992

A N E W T R I A N G U L A R G E N E R A L I Z E D C O N F O R M I N G
E L E M E N T F O R T H I N- T H I C K P L A T E S

Cen Song

Long Zhifei

(Tsinghua University, 100084) (China University of Mining & Technology, 100083)

Abstract In this paper, a new simple method considering the influence of shearing deformation in plate bending problem is proposed. According to this method and several generalized conforming conditions, a new triangular element with only 9-D. O. F. for both thin and thick plates is constructed. Numerical examples show that the element is effective for a large range of thickness-span ratio from very thin plate to thick plate.

Key words shearing strain field, finite element, thin-thick plates, triangular generalized conforming element